

# Starkniederschlagshöhen und -spenden gemäß KOSTRA-DWD-2020

## Rasterfeld 184137

(Zeile 184, Spalte 137)

### Regenspende und Bemessungsniederschlagswerte in Abhängigkeit von Wiederkehrzeit T und Dauerstufe D

| Dauerstufe D |     | Wiederkehrzeit T |            |      |            |      |            |       |            |       |            |       |            |       |            |       |            |       |            |
|--------------|-----|------------------|------------|------|------------|------|------------|-------|------------|-------|------------|-------|------------|-------|------------|-------|------------|-------|------------|
|              |     | 1 a              |            | 2 a  |            | 3 a  |            | 5 a   |            | 10 a  |            | 20 a  |            | 30 a  |            | 50 a  |            | 100 a |            |
| min          | Std | mm               | l / (s ha) | mm   | l / (s ha) | mm   | l / (s ha) | mm    | l / (s ha) | mm    | l / (s ha) | mm    | l / (s ha) | mm    | l / (s ha) | mm    | l / (s ha) | mm    | l / (s ha) |
| 5            |     | 6,6              | 220,0      | 8,0  | 266,7      | 8,9  | 296,7      | 10,1  | 336,7      | 11,8  | 393,3      | 13,5  | 450,0      | 14,6  | 486,7      | 16,1  | 536,7      | 18,3  | 610,0      |
| 10           |     | 9,0              | 150,0      | 11,0 | 183,3      | 12,2 | 203,3      | 13,9  | 231,7      | 16,2  | 270,0      | 18,6  | 310,0      | 20,2  | 336,7      | 22,2  | 370,0      | 25,2  | 420,0      |
| 15           |     | 10,6             | 117,8      | 12,9 | 143,3      | 14,4 | 160,0      | 16,3  | 181,1      | 19,0  | 211,1      | 21,8  | 242,2      | 23,7  | 263,3      | 26,1  | 290,0      | 29,5  | 327,8      |
| 20           |     | 11,8             | 98,3       | 14,4 | 120,0      | 16,0 | 133,3      | 18,1  | 150,8      | 21,1  | 175,8      | 24,2  | 201,7      | 26,3  | 219,2      | 28,9  | 240,8      | 32,8  | 273,3      |
| 30           |     | 13,5             | 75,0       | 16,5 | 91,7       | 18,3 | 101,7      | 20,7  | 115,0      | 24,2  | 134,4      | 27,8  | 154,4      | 30,1  | 167,2      | 33,2  | 184,4      | 37,6  | 208,9      |
| 45           |     | 15,3             | 56,7       | 18,7 | 69,3       | 20,8 | 77,0       | 23,5  | 87,0       | 27,5  | 101,9      | 31,6  | 117,0      | 34,2  | 126,7      | 37,7  | 139,6      | 42,8  | 158,5      |
| 60           | 1   | 16,7             | 46,4       | 20,4 | 56,7       | 22,7 | 63,1       | 25,7  | 71,4       | 30,0  | 83,3       | 34,5  | 95,8       | 37,4  | 103,9      | 41,2  | 114,4      | 46,7  | 129,7      |
| 90           | 1,5 | 18,9             | 35,0       | 23,0 | 42,6       | 25,6 | 47,4       | 29,0  | 53,7       | 33,8  | 62,6       | 38,8  | 71,9       | 42,1  | 78,0       | 46,4  | 85,9       | 52,6  | 97,4       |
| 120          | 2   | 20,5             | 28,5       | 25,0 | 34,7       | 27,8 | 38,6       | 31,5  | 43,8       | 36,7  | 51,0       | 42,2  | 58,6       | 45,7  | 63,5       | 50,4  | 70,0       | 57,1  | 79,3       |
| 180          | 3   | 23,0             | 21,3       | 28,0 | 25,9       | 31,2 | 28,9       | 35,3  | 32,7       | 41,2  | 38,1       | 47,3  | 43,8       | 51,3  | 47,5       | 56,5  | 52,3       | 64,0  | 59,3       |
| 240          | 4   | 24,9             | 17,3       | 30,4 | 21,1       | 33,8 | 23,5       | 38,2  | 26,5       | 44,6  | 31,0       | 51,2  | 35,6       | 55,6  | 38,6       | 61,2  | 42,5       | 69,4  | 48,2       |
| 360          | 6   | 27,8             | 12,9       | 34,0 | 15,7       | 37,8 | 17,5       | 42,7  | 19,8       | 49,9  | 23,1       | 57,3  | 26,5       | 62,2  | 28,8       | 68,5  | 31,7       | 77,6  | 35,9       |
| 540          | 9   | 31,1             | 9,6        | 38,0 | 11,7       | 42,2 | 13,0       | 47,8  | 14,8       | 55,8  | 17,2       | 64,1  | 19,8       | 69,5  | 21,5       | 76,6  | 23,6       | 86,7  | 26,8       |
| 720          | 12  | 33,7             | 7,8        | 41,1 | 9,5        | 45,7 | 10,6       | 51,7  | 12,0       | 60,3  | 14,0       | 69,3  | 16,0       | 75,2  | 17,4       | 82,8  | 19,2       | 93,8  | 21,7       |
| 1080         | 18  | 37,6             | 5,8        | 45,9 | 7,1        | 51,0 | 7,9        | 57,7  | 8,9        | 67,4  | 10,4       | 77,4  | 11,9       | 83,9  | 12,9       | 92,5  | 14,3       | 104,8 | 16,2       |
| 1440         | 24  | 40,7             | 4,7        | 49,6 | 5,7        | 55,1 | 6,4        | 62,4  | 7,2        | 72,9  | 8,4        | 83,7  | 9,7        | 90,7  | 10,5       | 100,0 | 11,6       | 113,3 | 13,1       |
| 2880         | 48  | 49,1             | 2,8        | 59,8 | 3,5        | 66,5 | 3,8        | 75,3  | 4,4        | 87,9  | 5,1        | 101,0 | 5,8        | 109,5 | 6,3        | 120,7 | 7,0        | 136,7 | 7,9        |
| 4320         | 72  | 54,7             | 2,1        | 66,8 | 2,6        | 74,2 | 2,9        | 84,0  | 3,2        | 98,1  | 3,8        | 112,7 | 4,3        | 122,2 | 4,7        | 134,7 | 5,2        | 152,6 | 5,9        |
| 5760         | 96  | 59,2             | 1,7        | 72,2 | 2,1        | 80,2 | 2,3        | 90,8  | 2,6        | 106,1 | 3,1        | 121,8 | 3,5        | 132,1 | 3,8        | 145,6 | 4,2        | 164,9 | 4,8        |
| 7200         | 120 | 62,9             | 1,5        | 76,7 | 1,8        | 85,2 | 2,0        | 96,5  | 2,2        | 112,7 | 2,6        | 129,4 | 3,0        | 140,3 | 3,2        | 154,6 | 3,6        | 175,2 | 4,1        |
| 8640         | 144 | 66,0             | 1,3        | 80,6 | 1,6        | 89,5 | 1,7        | 101,4 | 2,0        | 118,4 | 2,3        | 135,9 | 2,6        | 147,4 | 2,8        | 162,4 | 3,1        | 184,0 | 3,5        |
| 10080        | 168 | 68,8             | 1,1        | 84,0 | 1,4        | 93,4 | 1,5        | 105,7 | 1,7        | 123,4 | 2,0        | 141,7 | 2,3        | 153,7 | 2,5        | 169,4 | 2,8        | 191,8 | 3,2        |

# Starkniederschlagshöhen und -spenden gemäß KOSTRA-DWD-2020

## Rasterfeld 184137

(Zeile 184, Spalte 137)

### Örtliche Unsicherheiten in Abhängigkeit von Wiederkehrzeit T und Dauerstufe D

| Dauerstufe D |     | Wiederkehrzeit T |     |     |     |      |      |      |      |       |
|--------------|-----|------------------|-----|-----|-----|------|------|------|------|-------|
|              |     | 1 a              | 2 a | 3 a | 5 a | 10 a | 20 a | 30 a | 50 a | 100 a |
| min          | Std | ± %              | ± % | ± % | ± % | ± %  | ± %  | ± %  | ± %  | ± %   |
| 5            |     | 11               | 11  | 12  | 12  | 12   | 13   | 13   | 13   | 14    |
| 10           |     | 14               | 15  | 16  | 16  | 17   | 18   | 18   | 18   | 19    |
| 15           |     | 16               | 17  | 18  | 19  | 20   | 20   | 21   | 21   | 21    |
| 20           |     | 17               | 19  | 20  | 20  | 21   | 22   | 22   | 22   | 23    |
| 30           |     | 19               | 20  | 21  | 22  | 23   | 23   | 24   | 24   | 24    |
| 45           |     | 19               | 21  | 22  | 22  | 23   | 24   | 24   | 25   | 25    |
| 60           | 1   | 19               | 21  | 22  | 22  | 23   | 24   | 24   | 25   | 25    |
| 90           | 1,5 | 19               | 21  | 21  | 22  | 23   | 24   | 24   | 24   | 25    |
| 120          | 2   | 19               | 20  | 21  | 22  | 22   | 23   | 23   | 24   | 24    |
| 180          | 3   | 18               | 19  | 20  | 21  | 22   | 22   | 23   | 23   | 23    |
| 240          | 4   | 17               | 18  | 19  | 20  | 21   | 22   | 22   | 22   | 23    |
| 360          | 6   | 16               | 17  | 18  | 19  | 20   | 20   | 21   | 21   | 22    |
| 540          | 9   | 15               | 16  | 17  | 18  | 19   | 19   | 20   | 20   | 20    |
| 720          | 12  | 15               | 16  | 16  | 17  | 18   | 19   | 19   | 19   | 20    |
| 1080         | 18  | 14               | 15  | 16  | 16  | 17   | 18   | 18   | 18   | 19    |
| 1440         | 24  | 14               | 15  | 15  | 16  | 16   | 17   | 17   | 18   | 18    |
| 2880         | 48  | 13               | 14  | 14  | 15  | 15   | 16   | 16   | 16   | 17    |
| 4320         | 72  | 14               | 14  | 14  | 14  | 15   | 15   | 16   | 16   | 16    |
| 5760         | 96  | 14               | 14  | 14  | 15  | 15   | 15   | 15   | 16   | 16    |
| 7200         | 120 | 14               | 14  | 15  | 15  | 15   | 15   | 15   | 16   | 16    |
| 8640         | 144 | 15               | 15  | 15  | 15  | 15   | 15   | 16   | 16   | 16    |
| 10080        | 168 | 15               | 15  | 15  | 15  | 15   | 16   | 16   | 16   | 16    |

### Parameter für abweichende T und D

#### Lokationsparameter $\xi$ (Xi)

17,26052503

#### Skalenparameter $\alpha$ (Alpha)

5,27462699

#### Formparameter $\kappa$ (Kappa)

-0,1

#### 1. Koutsoyiannis-Parameter $\theta$ (Theta)

0,04165702

#### 2. Koutsoyiannis-Parameter $\eta$ (Eta)

0,72984869

Parameter für dauerstufenübergreifende Extremwertschätzung nach KOUTSOYIANNIS et al. 1998.

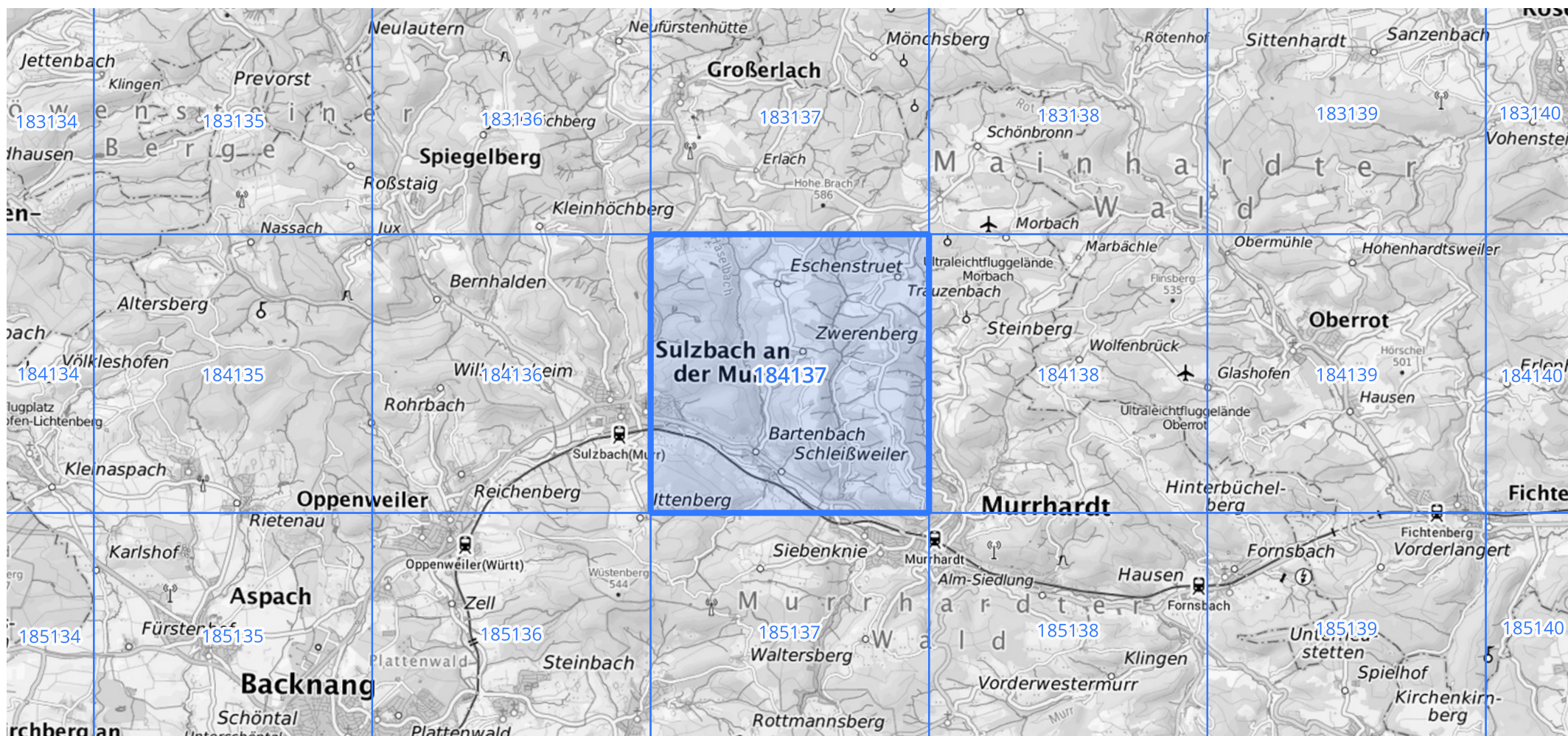
Siehe auch Anwendungshilfe zu KOSTRA-DWD-2020 des Deutschen Wetterdienstes.

# Starkniederschlagshöhen und -spenden gemäß KOSTRA-DWD-2020

## Rasterfeld 184137

(Zeile 184, Spalte 137)

Übersichtskarte des Rasterfeldes 184137, M 1 : 100 000



Quelle Rasterdaten: KOSTRA-DWD-2020 des Deutschen Wetterdienstes, Stand 12/2022.

Seite 3 von 3

Kartendarstellung: © Bundesamt für Kartographie und Geodäsie (2023), Datenquellen: [https://sgx.geodatenzentrum.de/web\\_public/gdz/datenquellen/Datenquellen\\_TopPlusOpen.html](https://sgx.geodatenzentrum.de/web_public/gdz/datenquellen/Datenquellen_TopPlusOpen.html)

Für die Richtigkeit und Aktualität der Angaben wird keine Gewähr übernommen. Erstellt 01/2023.